# ТЕОРЕТИЧЕСКАЯ НЕОРГАНИЧЕСКАЯ ХИМИЯ

УЛК 54.31:004.855.5

# ПРОГНОЗИРОВАНИЕ НОВЫХ СОЕДИНЕНИЙ СОСТАВА $A^+B^{+3}X_2^{+5}O_7$

© 2018 г. Н. Н. Киселева\*, а, А. В. Столяренко\*, В. В. Рязанов\*\*, О. В. Сенько\*\*, А. А. Докукин\*\*

\*Институт металлургии и материаловедения им. А.А. Байкова РАН, Россия, 119334 Москва, Ленинский пр-т, 49

\*\*Федеральный исследовательский центр "Информатика и управление" РАН, Россия, 119333 Москва, ул. Вавилова, 40

<sup>a</sup>E-mail: kis@imet.ac.ru

Поступила в редакцию 14.06.2017 г.

Проведено прогнозирование еще не полученных соединений состава  $ABX_2O_7$  ( $A^+$  и  $B^{3+}$  — катионы разных элементов;  $X = P^{5+}$ ,  $V^{5+}$ ,  $As^{5+}$ ,  $Nb^{5+}$ ,  $Sb^{5+}$  или  $Ta^{5+}$ ). Найдены критерии, позволяющие прогнозировать возможность кристаллизации этих соединений в одном из типов кристаллической структуры ( $KAIP_2O_7$ , веберита,  $NaAIP_2O_7$ ,  $LiFeP_2O_7$  или пирохлора) при комнатной температуре и атмосферном давлении. При прогнозировании использованы только данные о свойствах элементов и простых оксидов. Средняя точность прогнозирования не ниже 88%. Расчеты проведены с применением информационно-аналитической системы, основанной на методах распознавания образов по прецедентам.

*Ключевые слова:* оксиды с кристаллической структурой  $KAlP_2O_7$ , веберита,  $NaAlP_2O_7$ , LiFe $P_2O_7$ , пирохлора, распознавание образов по прецедентам

**DOI:** 10.1134/S0044457X18100112

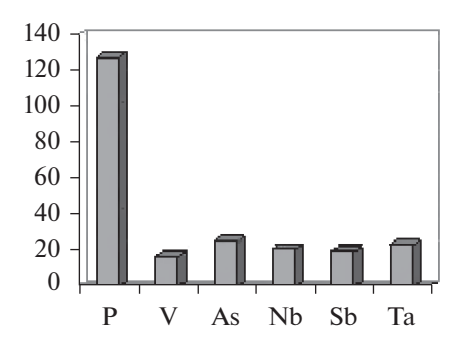
Соединения состава  $ABX_2O_7$  ( $A^+$  и  $B^{3+}$  — катионы разных элементов;  $X = P^{5+}$ ,  $V^{5+}$ ,  $As^{5+}$ ,  $Nb^{5+}$ ,  $Sb^{5+}$  или  $Ta^{5+}$ ) представляют интерес для поиска новых сегнетоэлектрических [1], магнитных [2] и люминесцентных [3, 4] материалов, катализаторов [5, 6], катодных материалов для литиевых батарей [7, 8] и т.д.

Согласно информации базы данных (БЛ) "Фазы" [9], наибольшее количество соединений этого состава синтезировано в фосфатных системах (рисунок). Большинство соединений АВР<sub>2</sub>О<sub>7</sub> кристаллизуется при обычных условиях (комнатной температуре и атмосферном давлении) в структурных типах KAlP<sub>2</sub>O<sub>7</sub> [10], NaAlP<sub>2</sub>O<sub>7</sub> [11] и LiFeP<sub>2</sub>O<sub>7</sub> [12]. Среди немногочисленных известных соединений пятивалентного мышьяка этого состава, помимо соединений со структурой типа  $KAlP_2O_7$  и  $NaAlP_2O_7$ , исследованы фазы со структурой гиттинсита ( $CaZrSi_2O_7$ ) [13]. Наибольшее количество уже полученных соединений ABSb<sub>2</sub>O<sub>7</sub> имеет структуру веберита (Na<sub>2</sub>MgAlF<sub>7</sub>) [14]. Соединения со структурой веберита также образуются в системах с пятивалентными ванадием и танталом. В этих и ниобиевых системах обнаружены соединения с кубической структурой пирохлора. Анализ имеющейся информации о соединениях состава  $A^+B^{+3}X_2^{+5}O_7$  указывает на возможность синтеза новых соединений, особенно для X = V, As, Nb, Sb или Ta.

Цель работы — прогнозирование еще не полученных соединений вышеуказанного состава.

### ТЕОРЕТИЧЕСКИЙ АНАЛИЗ

Немногочисленные попытки [15-17] найти взаимосвязи между типом кристаллической структуры соединений  $A^{+}B^{+3}X_{2}^{+5}O_{7}$  и параметрами компонентов касались в основном соединений со структурой веберита и пирохлора. Как правило, найденные критерии включали отношение ионных радиусов катионов A<sup>+</sup> и B<sup>3+</sup> [15, 16] и электроотрицательность элементов A и B [15] (или функцию от электроотрицательности, названную относительной ионностью связей [16, 17]). В [15] рассматривались только соединения состава AgLnSb<sub>2</sub>O<sub>7</sub>. Авторы [16], помимо веберитов, пирохлоров, флюоритов и перовскитов состава ALnX<sub>2</sub>O<sub>7</sub>, анализировали информацию о более простых соединениях  $A_2X_2O_7$ . В [17] пытались найти классифицирующие закономерности, разделяющие оксидные и фторидные соединения разного состава со структурами веберита и пирохлора. По доступным нам сведениям, отсутствуют публикации о закономерностях, поз-



Гистограмма распространенности соединений состава  $ABX_2O_7$  ( $X=P^{5+},V^{5+},As^{5+},Nb^{5+},Sb^{5+}$  или  $Ta^{5+}$ ).

воляющих прогнозировать соединения состава  $A^{+}B^{+3}X_{2}^{+5}O_{7}$  с кристаллическими структурами типа KAlP<sub>2</sub>O<sub>7</sub>, NaAlP<sub>2</sub>O<sub>7</sub> и LiFeP<sub>2</sub>O<sub>7</sub>. Следует отметить, что использование только размерных факторов и электроотрицательности химических элементов не позволяет достаточно точно разделить соединения вышеуказанного состава с различными типами кристаллических структур, на что указано и в [15]. При анализе проекции точек, соответствующих соединениям состава  $A^+B^{+3}X_2^{+5}O_7$  с разными структурами, на плоскость, координатами которой являются предложенные в [15] параметры (отношение ионных радиусов по Шеннону для элементов А и Х и электроотрицательность по Олфреду-Рохову элемента А), наблюдается значительное пересечение областей устойчивости различных структурных типов. Отметим, что и при использовании электроотрицательности элемента Х также не удается достичь разделения соединений с разными структурами. Возможная причина неудач связана с тем, что и ионные радиусы, и электроотрицательность являются важными, но не единственными факторами, определяющими тип кристаллической структуры рассматриваемых в настоящем исследовании соединений. Один из путей разделения областей устойчивости разных структурных типов связан с использованием при формировании классифицирующих критериев самого широкого набора свойств компонентов (химических элементов и простых оксидов) и функций от этих свойств. Для поиска таких многомерных критериев мы предлагаем применять методы распознавании образов по прецедентам, с помощью которых ранее удалось найти сложные классифицирующие закономерности и предсказать с достаточно высокой точностью возможность существования и тип кристаллической структуры галогенидных соединений разного состава [18-20].

### МЕТОДЫ РАСЧЕТА

Для поиска многомерных критериев, позволяющих разделить области устойчивости различных структурных типов соединений состава  $ABX_2O_7$ , была использована разработанная нами информационно-аналитическая система (**ИАС**) [21], которая объединяет базы данных по свойствам неорганических веществ и материалов и подсистему анализа информации, основанную на методах распознавания образов по прецедентам. Процедура использования ИАС для поиска сложных закономерностей в химической информации и прогнозирования новых неорганических соединений и оценки их свойств подробно описана в [20]. Эта процедура включает следующие этапы.

- 1. Отбор примеров для компьютерного анализа.
- 2. Выбор исходного набора свойств компонентов (элементов и простых оксидов) для формирования искомых критериев.
- 3. Нахождение свойств компонентов и простых алгебраических функций от этих свойств, которые обеспечивали бы наибольшее разделение различных классов соединений вышеуказанного состава.
- 4. Компьютерный анализ отобранной информации с дальнейшим отбором наиболее разделяющих сформированных критериев.
- 5. Использование найденных многомерных критериев для прогнозирования еще не полученных соединений.
- 1. Основным источником исходной информации для компьютерного анализа была база данных "Фазы" [9, 21], входящая в состав ИАС. При экспертной оценке данных существенной проблемой было отнесение кристаллических структур к одному из типов моноклинных структур: KAlP<sub>2</sub>O<sub>7</sub>, NaAlP<sub>2</sub>O<sub>7</sub> или LiFeP<sub>2</sub>O<sub>7</sub>, для которых в публикациях часто были указаны одинаковые пространственные группы, но не даны типы структур, а также подробная информация о структуре кристаллов. Трудность отбора примеров для компьютерного анализа была связана также и с полиморфизмом соединений  $A^+B^{+3}X_2^{+5}O_7$  (в анализируемую выборку включались только данные о типе кристаллической структуры при обычных условиях), так как не во всех публикациях были указаны температура и давление, при которых реализуются те или иные модификации. Для частичной автоматизации процесса выявления веществ, для которых была указана неправильная принадлежность к классу, использовали процедуру, описанную в [22]. Одной из проблем, которая в значительной степени снижает точность прогнозирования, является крайне скудная информация о соединениях  $ABX_2O_7$ , в которых X = V, As, Nb, Sb или Та. Суммарное количество таких полученных

соединений меньше, чем количество известных соединений с фосфором (рисунок).

- 2. Информация о соединениях представлялась в памяти ЭВМ в виде матрицы, строки которой включали набор значений параметров компонентов конкретного соединения с указанием, к какому классу это соединение относится. При выборе исходных свойств компонентов учитывалась физическая и химическая природа исследуемых веществ. Информация о свойствах элементов была получена из разработанной нами БД "Elements" (http://phases.imet-db.ru/elements), а информация об оксидах из БД по свойствам простых оксидов, включенных в ИАС. Результатом первых двух этапов была выборка для компьютерного анализа (обучающая выборка).
- 3. Процедура отбора наиболее важных для классификации свойств компонентов в ИАС автоматизирована, для чего в нее включены специальные программы [23]. При этом учитывался предыдущий опыт поиска критериев [15–17], в которых широко использовались алгебраические функции от параметров элементов. Поэтому при анализе обучающей выборки проводилась оценка не только исходных свойств компонентов, но и автоматически сгенерированных алгебраических функций от этих свойств, что значительно упрощает последующее формирование искомых критериев. Следует отметить, что даже с учетом того, что генерация функций проводится с использованием набора элементарных алгебраических операций над значениями однотипных по физическому смыслу и размерности свойств компонентов, количество сформированных таким образом параметров часто превышает несколько сотен и даже тысяч. В связи с этим отбор только наиболее важных для классификации алгебраических функций для последующего их включения в искомый критерий значительно ускоряет процесс его формирования и часто способствует повышению точности прогнозирования. Результатом работы программ было нахождение набора параметров компонентов, наиболее разделяющих заданные классы.
- 4. Для поиска критериев образования соединений состава  $ABX_2O_7$  и критериев, позволяющих прогнозировать тип их кристаллической структуры при обычных условиях, был использован комплекс из 15 программ распознавания образов по прецедентам, включенный в ИАС [21]. Для оценки точности прогнозирования сформированных критериев была использована широко применяемая для этих целей процедура скользящего контроля, которая подробно описана в [18, 24]. В результате были отобраны наиболее точные алгоритмы распознавания образов. Для формирования обобщенного критерия, использующего достоинства различных алгоритмов, применялась проце-

дура принятия коллективного решения на основе специальных программ [21, 24], включенных в ИАС. Для оценки точности критериев, полученных с использованием этих программ, применялось экзаменационное распознавание информации о 50 веществах, данные о которых были случайно выбраны из обучающих выборок и не использованы при обучении ЭВМ (на завершающем этапе прогнозирования эти контрольные примеры возвращались в выборку для анализа).

При формировании критериев решались три задачи. В первой из них (задача 1) проводился поиск критерия, разделяющего системы А<sub>2</sub>О- $B_2O_3-X_2O_5$  с образованием и без образования соединения состава АВХ<sub>2</sub>О<sub>7</sub>. Следующая задача включала поиск критериев образования соединений указанного состава с наиболее распространенными типами кристаллических структур (KAlP<sub>2</sub>O<sub>7</sub>, веберита, NaAlP<sub>2</sub>O<sub>7</sub>, LiFeP<sub>2</sub>O<sub>7</sub> или пирохлора). Она разбивалась на две. При решении первой из них проводили многоклассовое прогнозирование принадлежности веществ к одному из семи классов: соединениям со структурой  $KAlP_2O_7(1)$ , веберита (2),  $NaAlP_2O_7(3)$ ,  $LiFeP_2O_7(4)$ , пирохлора (5) или соединениям со структурой, отличной от приведенных выше (6), и системам с отсутствием соединений состава  $ABX_2O_7$  (7) (задача 2), а потом решались три задачи (для наиболее представительных целевых классов KAlP<sub>2</sub>O<sub>7</sub>, NaAlP<sub>2</sub>O<sub>7</sub> или веберита) последовательного разделения оксидных систем на три класса: например, целевой класс  $1 - KAlP_2O_7$ , класс 2 - coeдинения со структурой, отличной от KAlP<sub>2</sub>O<sub>7</sub>, и класс 3 — отсутствие соединений состава АВХ<sub>2</sub>О<sub>7</sub> в системе  $A_2O-B_2O_3-X_2O_5$  (три задачи 3). При решении задач варьировались наборы свойств компонентов и алгоритмы распознавания образов. В результате отбирали наиболее разделяющую совокупность параметров компонентов и наиболее точные (по результатам скользящего контроля) алгоритмы распознавания образов по прецедентам.

5. При прогнозировании новых соединений использовались только данные о свойствах компонентов. Все прогнозы были для атмосферного давления и комнатной температуры. Процедура прогнозирования и формирования таблицы прогнозов осуществляется в ИАС автоматически. Пользователь указывает только наборы символов компонентов. Окончательное решение о классе веществ, к которому принадлежит прогнозируемое соединение, принималось на основе сравнения прогнозов, полученных при решении всех задач. Если результаты противоречили друг другу, то прогноз считался неопределенным.

**Таблица 1.** Прогноз типа кристаллической структуры соединений состава  $ABP_2O_7$ 

			2	/			
				A			
В	Li	Na	K	Rb	Ag	Cs	T1
Al	#L	#N	#K	#K	#N	K	#K
Sc	#L	#A	#K	K	Α	K	K
V	#L	#N	#K	#K	#N	#K	K
Cr	#L	#N	#K	#K	#N	#K	#K
Mn	#L	?	K	#K	N	K	K
Fe	#L	K	#K	#K	#N	#K	#K
Ga	L	#N	#K	#K	#N	K	#K
Y	L	A	#K	#K	#A	#K	#K
In	#L	#N	#K	#K	#N	#K	#K
La	_	A	#—	_	A	#—	K
Ce	_	A	#—	_	A	_	K
Pr	_	Α	_	_	Α	?	K
Nd	#-	A	#—	_	A	_	K
Pm	?	Α	?	K	Α	K	K
Sm	_	A	?	?	A	?	K
Eu	?	#A	K	K	A	K	K
Gd	?	A	K	#K	A	#K	K
Tb	?	A	#A	#K	A	#K	K
Dy	?	Α	?	#K	#A	#K	#K
Но	?	#A	?	#K	#A	#K	#K
Er	?	A	K	#K	#A	#K	#K
Tm	?	Α	#K	#K	#A	#K	K
Yb	?	#A	#K	#K	#A	#K	#K
Lu	?	#A	#K	#K	#A	#K	K
Bi	L	N	_	_	N	#—	K

Примечание. Здесь и далее: K — прогноз соединений с кристаллической структурой типа  $KAlP_2O_7$ ; W — прогноз веберитов; N — прогноз соединений с кристаллической структурой типа  $NaAlP_2O_7$ ; L — прогноз соединений со структурой типа  $LiFeP_2O_7$ ; P — прогноз пирохлоров; A — прогноз соединений с кристаллической структурой, отличной от приведенных выше; - — прогноз отсутствия соединения состава  $ABX_2O_7$  в системе  $A_2O-B_2O_3-X_2O_5$ ; ? — неопределенный результат. Значком # обозначены ранее изученные системы, информация о которых использована при формировании многомерных критериев.

### РАСЧЕТНАЯ ЧАСТЬ

После экспертной оценки в выборку для компьютерного анализа была включена информация о 60 соединениях состава  $A^+B^{+3}X_2^{+5}O_7$  со структурой  $KAlP_2O_7$ , о 22 соединениях со структурой веберита, 17 соединениях со структурой  $NaAlP_2O_7$ , 9 соединениях со структурой  $LiFeP_2O_7$ , 8 соединениях со структурой пирохлора, 72 соединениях с кристаллической структурой, отличной от приведенных выше при обычных условиях, и 12 систе-

мах  $A_2O-B_2O_3-X_2O_5$ , в которых не образуются соединения состава  $ABX_2O_7$ . Следует отметить резкую разницу в размерах классов (количество примеров образования соединений на порядок больше, чем число отсутствия соединений). Естественно, что такая асимметрия может иметь следствием более низкую точность прогнозов, а именно: систем без образования соединений вышеуказанного состава.

В исходный набор параметров компонентов были включены следующие свойства химических элементов А, В, Х и О: псевдопотенциальный радиус (по Цангеру), ионный радиус (по Шеннону) (S15), расстояния до внутренних (S6) и до валентных электронов (по Шуберту), энергии ионизации первого, второго и третьего электронов (Е5-Е7), номера (по Менделееву-Петтифору (М1-М11)), квантовый номер (А5), электроотрицательность (по Полингу), химический потенциал Мидемы, температуры плавления (С1) и кипения (С2), стандартные энтропия, энтальпия атомизации, теплопроводность (18), молярная теплоемкость и т.д., а также термические параметры простых оксидов  $A_2O_3$  и  $X_2O_5$  (температура плавления (распада), стандартные энтропия, теплота образования, изобарная теплоемкость и изобарный потенциал образования) – всего 105 значений для каждой системы А-В-Х-О.

## РЕЗУЛЬТАТЫ И ИХ ОБСУЖДЕНИЕ

При решении задачи прогнозирования возможности образования соединений  $A^+B^{+3}X_2^{+5}O_7$  было найдено, что отношение энергии ионизации первого электрона элемента В к энергии ионизации третьего электрона кислорода (E5(B)/E7(O)), а также отношение номеров (по Менделееву—Петтифору) — M5(B)/M1(A) оказались наиболее разделяющими классы "образование соединения" (1) и "отсутствие соединения" (2). Однако при рассмотрении проекции точек, соответствующих примерам образования и отсутствия соединений  $A^+B^{+3}X_2^{+5}O_7$ , на плоскость, координатами которой являются указанные выше функции, наблюдалось значительное пересечение классов. Поэтому было решено расширить набор параметров за счет добавления к значениям этих функций исходного набора 105 значений свойств компонентов. Такой расширенный набор параметров и использование для построения многомерного разделяющего критерия программ распознавания образов, основанных на алгоритмах методов опорных векторов, k-ближайших соседей, линейного дискриминанта Фишера, обучения нейронной сети с применением голосования по большинству для принятия коллективного решения, позволили достичь практически полного разделения систем  $A_2O-B_2O_3-X_2O_5$ , в которых образуются и не образуются соединения состава  $ABX_2O_7$ .

Попытка использовать только найденные по программе [23] наиболее разделяющие параметры: C1(X) + C2(A), S15(A)/S15(X) и A5(A)/M4(X) также не привела к достаточно хорошему разделению соединений с разными типами кристаллических структур. Наибольшую точность (88%) обеспечило включение в искомый критерий только свойств элементов и использование коллектива алгоритмов (методы опорных векторов, k-ближайших соседей, линейной машины, обучения нейронной сети) с применением голосования по большинству для принятия коллективного решения.

С помощью программы [23] было найдено, что значения отношения S15(A)/S15(X) во многом определяют отделение соединений со структурой KAlP<sub>2</sub>O<sub>7</sub> от соединений с другими структурами и примеров отсутствия соединений состава АВХ<sub>2</sub>О<sub>7</sub> в системе  $A_2O-B_2O_3-X_2O_5$ . Однако при использовании только размерных факторов не удается получить удовлетворительного отделения соединений со структурой КАІР<sub>2</sub>О<sub>7</sub> от соединений других классов. Наилучшая классификация (точность 96%) была получена при включении в искомый критерий только исходных параметров элементов и простых оксидов и использовании алгоритмов распознавания образов на основе методов опорных векторов, k-ближайших соседей и формирования логических закономерностей с применением голосования по большинству для принятия коллективного решения.

Наибольшую точность (98%) отделения соединений со структурой  $NaAlP_2O_7$  от соединений с другой структурой и систем без образования соединений прогнозируемого состава показал критерий, включающий свойства элементов и оксидов, а также функции S6(X)/S6(A) и  $I8(A) \times I8(B)$ . Он был сформирован программами на основе алгоритмов вычисления оценок, линейного дискриминанта Фишера, k-ближайших соседей, метода опорных векторов и алгоритма выпуклого стабилизатора для принятия коллективного решения.

Критерий, включающий только найденные по программе [23] наиболее разделяющие алгебраические функции (M9(X)/M1(A), M10(X)/M7(X) и S15(X)—S15(O)), также не позволил с достаточной точностью отделить вебериты от соединений с другими структурами и примеров отсутствия соединений состава  $ABX_2O_7$ . Однако добавление этих функций в критерий, включающий свойства элементов и оксидов, позволило повысить точность экзаменационного прогнозирования с 92 до 98%. При формировании этого критерия был использован коллектив алгоритмов (методы опорных векторов, k-ближайших соседей и обу-

**Таблица 2.** Прогноз типа кристаллической структуры соединений состава  $ABV_2O_7$ 

	A							
В	Li	Na	K	Rb	Ag	Cs	T1	
Al	_	Α	#A	Α	Α	A	P	
Sc	_	P	?	?	Α	Α	Α	
Cr	_	#A	#A	#A	Α	#A	Α	
Mn	_	Α	Α	Α	Α	Α	Α	
Fe	#	#A	#A	Α	#A	Α	Α	
Ga	_	Α	Α	Α	Α	Α	P	
Y	_	#P	?	?	Α	Α	?	
In	_	Α	Α	Α	Α	Α	P	
La	P	?	Α	Α	Α	Α	Α	
Ce	P	W	W	Α	Α	Α	Α	
Pr	P	W	W	?	Α	Α	Α	
Nd	P	#W	W	Α	Α	Α	Α	
Pm	?	W	W	W	Α	?	Α	
Sm	?	#W	W	?	Α	Α	Α	
Eu	?	W	W	W	Α	?	Α	
Gd	P	#W	W	W	Α		Α	
Tb	?	W	W	W	Α	?	Α	
Dy	? ? ? ?	#W	W	W	Α	?	Α	
Но	?	W	W	W	Α	?	Α	
Er	?	W	W	W	Α	?	Α	
Tm	?	W	W	W	Α	?	Α	
Yb	?	W	W	W	Α	?	Α	
Lu	P	W	W	?	Α	?	Α	
Bi	?	A	A	A	A	A	P	

**Таблица 3.** Прогноз типа кристаллической структуры соединений состава  $ABAs_2O_7$ 

				A			
В	Li	Na	K	Rb	Ag	Cs	T1
Al	#A	#N	#A	#A	N	#A	#A
Sc	#A	#A	K	#K	#A	K	#K
V	A	?	A	A	?	K	K
Cr	A		#A	A	N	#K	?
Fe	#A	#N	#A	A	#N	?	A
Ga	#A	#N	#A	A	#N	Α	A
Y	A	Α	?	?	Α	?	?
In	A	#A	A	#A	?	A	#A

чения нейронной сети) с применением голосования по большинству для принятия коллективного решения.

Сформированные критерии были использованы для прогнозирования возможности образования и типа кристаллической структуры при обычных условиях еще не синтезированных соединений. Табл. 1—6 содержат часть результатов сравнения

**Таблица 4.** Прогноз типа кристаллической структуры соединений состава  $ABNb_2O_7$ 

В	A								
	Li	Na	K	Rb	Ag	Cs	Tl		
Al	#-	A	A	A	A	A	P		
Sc	#-	P	?	A	A	A	?		
Y	?	#P	P	A	A	A	?		
La	A	#A	#A	A	#A	#A	Α		
Ce	P	?	A	A	A	A	?		
Pr	P	A	A	A	A	#A	?		
Nd	#P	A	A	#A	A	#A	?		
Pm	P	?	?	A	A	A	A		
Sm	P	W	W	A	A	A	Α		
Eu	P	W	W	?	A	A	Α		
Gd	P	P	W	?	A	?	Α		
Tb	P	P	W	?	A	Α	Α		
Dy	# <b>P</b>	W	W	?	A	?	Α		
Но	P	W	W	?	A	?	Α		
Er	P	?	W	?	A	?	Α		
Tm	P	W	W	W	A	?	A		
Yb	P	W	W	?	A	?	Α		
Lu	P	P	?	P	A	P	Α		
Bi	?	#A	A	#A	?	#A	#P		

**Таблица 5.** Прогноз типа кристаллической структуры соединений состава  $ABSb_2O_7$ 

	_	•						
В	A							
Б	Na	K	Ag					
Al	?	A	N					
Y	W	#W	Α					
La	#W	#W	#A					
Ce	#W	W	A					
Pr	#W	W	#A					
Nd	#W	W	#A					
Pm	W	W	A					
Sm	#W	W	#A					
Eu	#W	W	A					
Gd	#W	W	A					
Tb	#W	W	A					
Dy	#W	W	Α					
Но	W	#W	A					
Er	W	#W	A					
Tm	W	W	Α					
Yb	W	#W	A					
Lu	W	#W	A					

**Таблица 6.** Прогноз типа кристаллической структуры соединений состава  $ABTa_2O_7$ 

, ,			- 2	- /				
В	A							
	Li	Na	K	Rb	Ag	Cs	Tl	
Al	#-	A	A	A	A	A	P	
La	#A	#A	#A	#A	#A	#A	A	
Ce	A	Α	Α	Α	Α	A	?	
Pr	A	A	A	#A	A	A	A	
Nd	#A	#A	#A	#A	A	#A	?	
Pm	A	P	W	Α	A	A	A	
Sm	A	A	#W	#A	Α	A	A	
Eu	P	?	W	?	A	A	A	
Gd	P	#P	#W	?	A	A	A	
Tb	P	P	W	W	Α	A	A	
Dy	P	P	#W	W	Α	?	Α	
Но	P	P	W	W	A	W	A	
Er	P	P	W	W	Α	?	A	
Tm	P	P	W	W	Α	W	Α	
Yb	P	P	W	?	Α	?	A	
Lu	P	P	#P	?	Α	?	A	
Bi	?	A	A	A	?	A	#P	
	1						1	

**Таблица 7.** Статистические данные о прогнозируемых типах кристаллических структур соединений состава  $A^+B^{+3}X_2^{+5}O_7$ 

Тип	X							
структуры	P	V	As	Nb	Sb	Ta		
KAlP <sub>2</sub> O <sub>7</sub>	29	0	4	0	0	0		
Веберит	0	33	0	18	17	14		
$NaAlP_2O_7$	3	0	2	0	1	0		
LiFeP <sub>2</sub> O <sub>7</sub>	3	0	0	0	0	0		
Пирохлор	0	11	0	20	0	18		

прогнозов, полученных при решении всех классификационных задач.

Анализ полученных данных показывает (табл. 7), что наибольшее количество новых соединений состава  $ABX_2O_7$  прогнозируется в системах с фосфором. Вебериты предсказаны в системах  $A_2O-B_2O_3-X_2O_5$ , в которых X=V, Nb, Sb или Та. Небольшое количество новых соединений со структурами  $NaAlP_2O_7$  прогнозируется в системах с  $P_2O_5$ ,  $As_2O_5$  и  $Sb_2O_5$ . Три еще не полученных соединения  $ABP_2O_7$  имеют по прогнозу структуру  $LiFeP_2O_7$ . Пирохлоры прогнозируются в системах с ванадием, ниобием и танталом. Следует отметить, что точность прогнозирования для

еще не синтезированных соединений во всех рассмотренных выше системах, за исключением систем с  $P_2O_5$ , не может быть высокой, так как количество известных примеров таких соединений невелико. Однако предлагаемые в этой работе методы распознавания образов по прецедентам для поиска многомерных критериев, позволяющих разделить разные классы неорганических соединений, позволяют быстро переформировать искомые критерии с появлением новых экспериментальных данных, которые противоречат ранее полученным прогнозам, и тем самым улучшить точность прогнозирования.

#### БЛАГОДАРНОСТЬ

Работа выполнена при частичной финансовой поддержке Российского фонда фундаментальных исследований (проекты № 18-07-00080, 16-07-01028 и 17-07-01362). Работа выполнялась по государственным заданиям № 007-00129-18-00 и 0063-2020-0003.

#### СПИСОК ЛИТЕРАТУРЫ

- 1. *Li B.-W.*, *Osada M.*, *Tadashi C. et al.* // Chem. Mater. 2012. V. 24. № 16. P. 3111. doi 10.1021/cm3013039
- 2. Whangbo M.-H., Dai D., Koo H.-J. // Dalton Trans. 2004. № 19. P. 3019. doi 10.1039/B401312N
- 3. *Yuan J.-L., Wang J., Xiong D.B. et al.* // J. Lumin. 2007. V. 126. № 2. P. 717. doi 10.1016/j.jlumin.2006.11.001
- Yuan J.-L., Wang J., Zhang Z.-J. et al. // Opt. Mater. 2008. V. 30. № 8. P. 1327. doi 10.1016/j.optmat.2007.06.017
- 5. *Millet M.M.*, *Vedrine J.C.* // Appl. Catal. 1991. V. 76. № 2. P. 209. doi 10.1016/0166-9834(91)80048-2
- 6. *Machida M.*, *Yabunaka J.*, *Kijima T.* // Chem. Mater. 2000. V. 12. № 3. P. 812. doi 10.1021/cm990577j
- 7. Barpanda P., Nishimura S.-I., Yamada A. // Adv. Energy Mater. 2012. V. 2. № 7. P. 841. doi 10.1002/aenm.201100772

- 8. *Uebou Y., Okada S., Egashira M., Yamaki J.-I.* // Solid State Ionics. 2002. V. 148. № 3–4. P. 323. doi 10.1016/S0167-2738(02)00069-3
- 9. *Киселева Н., Мурат Д., Столяренко А. и др. //* Информационные ресурсы России. 2006. № 4. С. 21.
- 10. *Ng H.N., Calvo C.* // Can. J. Chem. 1973. V. 51. № 16. P. 2613. doi 10.1139/v73-395
- 11. *Alkemper J., Paulus H.F., Fuess H.* // Z. Kristallogr. 1994. V. 209. № 7. P. 616. doi 10.1524/zkri.1994.209.7.616
- 12. *Riou D., Nguyen N., Benloucif R., Raveau B.* // Mater. Res. Bull. 1990. V. 25. № 11. P. 1363. doi 10.1016/0025-5408(90)90218-Q
- 13. *Roelofsen-Ahl J.N., Peterson R.C.* // Can. Mineral. 1989. V. 27. № 4. P. 703.
- Giuseppetti G., Tadini C. // Tschermaks Mineral. Petrogr. Mitt. 1978. V. 25. № 1. P. 57. doi 10.1007/BF01082204
- 15. *Лопатин С.С., Аверьянова Л.Н., Беляев И.Н. и др. //* Журн. неорган. химии. 1982. Т. 27. № 11. С. 2751.
- 16. *Сыч А.М.*, *Кабанова М.И.*, *Гарбуз В.В.*, *Коваленко Е.Н.* // Изв. АН СССР. Неорган. материалы. 1988. Т. 24. № 9. С. 1538.
- 17. *Cai L., Nino J.C.* // Acta Crystallogr., Sect. B. 2009. V. 65. № 3. P. 269. doi 10.1107/S0108768109011355
- 18. *Киселева Н.Н.* // Журн. неорган. химии. 2014. Т. 59. № 5. С. 665. doi 10.7868/S0044457X14050110
- 19. *Киселева Н.Н., Столяренко А.В., Рязанов В.В. и др. //* Журн. неорган. химии. 2014. Т. 59. № 12. С. 1709. doi 10.7868/S0044457X14120101
- 20. *Киселева Н.Н., Столяренко А.В., Рязанов В.В. и др. //* Журн. неорган. химии. 2016. Т. 61. № 5. С. 633. doi 10.7868/S0044457X16050093
- 21. Kiselyova N.N., Stolyarenko A.V., Ryazanov V.V. et al. // Pattern Recognition Image Analysis. 2011. V. 21. № 1. P. 88. doi 10.1134/S1054661811010081
- 22. *Киселева Н.Н., Столяренко А.В., Рязанов В.В. и др. //* Журн. неорган. химии. 2017. Т. 62. № 8. С. 1068. doi 10.7868/S0044457X17080086
- 23. *Senko O.V.* // Pattern Recognition and Image Analysis. 2009. V. 19. № 3. P. 465. doi 10.1134/S1054661809030110
- 24. *Журавлев Ю.И., Рязанов В.В., Сенько О.В.* Распознавание. Математические методы. Программная система. Практические применения. М.: ФАЗИС, 2006. 176 с.